

### О МОДЕЛЬНОМ ОПИСАНИИ ЦЕПОЧКИ СВЯЗАННЫХ ДИНАМИЧЕСКИХ СИСТЕМ ВБЛИЗИ ТОЧКИ ПЕРЕХОДА ПОРЯДОК — БЕСПОРЯДОК

Предлагается способ феноменологического описания цепочки связанных систем, демонстрирующих при изменении некоторого параметра переход от периодического к хаотическому режиму через бесконечную последовательность удвоений периода. Способ состоит в использовании модели — цепочки связанных одномерных отображений. Показано, что с точки зрения поведения цепочки после большого числа удвоений периода связь между системами представляет собой комбинацию двух фундаментальных типов связи; равенство соответствующих коэффициентов связи для цепочки и ее модели является условием соответствия между ними. Рассмотрен конкретный пример — цепочка параметрически возбуждаемых нелинейных осцилляторов с диссипацией.

1. Сущность понятия динамической системы состоит в том, что по ее состоянию в начальный момент времени однозначно определяется состояние в любой последующий момент [1]. Состояние — это определенный набор величин, относящихся к системе, например для маятника — угол отклонения и скорость. Как оказалось, многие динамические системы различной природы при изменении какого-либо параметра претерпевают переход от периодического поведения к хаотическому [2—10]. Один из распространенных способов возникновения хаоса связан с существованием бесконечной последовательности удвоений периода движения. При этом значения параметра  $\lambda_n$ , при которых происходят удвоения, сходятся к конечному пределу — критической точке  $\lambda_c$  [2—4]:

$$\lambda_n = \lambda_c - K\delta^{-n}. \quad (1)$$

Здесь  $\lambda_c$  и  $K$  зависят от конкретной системы, а  $\delta = 4,6692$  — универсальная постоянная. В качестве примеров можно назвать нелинейный осциллятор с диссипацией, возбуждаемый периодическим внешним воздействием [5, 6], укороченные по Галеркину уравнения ряда гидродинамических систем [7, 8], некоторые задачи химической кинетики [9].

Простейшая система, демонстрирующая удвоения периода, — рекуррентное одномерное отображение [2, 3]:

$$x_{n+1} = 1 - \lambda x_n^2 \equiv F(x_n). \quad (2)$$

Здесь  $x_n$  — действительная переменная, описывающая состояние в момент дискретного времени  $n$ ;  $\lambda$  — параметр. Значения постоянных в фор-

муле (1) таковы:  $\lambda_c = 1,40116$ ,  $K = 0,7242$ . При  $\lambda < \lambda_c$  система демонстрирует периодические, при  $\lambda > \lambda_c$  — хаотические режимы<sup>1)</sup>.

Как показано в [4], система (2) может рассматриваться как модель, описывающая поведение различных реальных диссипативных систем, претерпевающих переход к хаосу через удвоения периода. Сначала от дифференциальных уравнений переходят к отображению Пуанкаре [1]. При многократных итерациях это отображение оказывается эквивалентным одномерному благодаря имеющемуся в диссипативных системах сжатию фазового объема [4] и сводится надлежащей заменой переменных к виду (2). Соответствие динамики модели и системы имеет место, если они характеризуются одинаковыми значениями величины  $(\lambda - \lambda_c)K^{-1}$ .

Актуальная задача состоит в изучении возникновения хаоса в распределенных системах [7, 8]. Распространенный в теории колебаний способ перехода от простых систем к распределенным состоит в том, чтобы рассмотреть цепочку или среду, составленную из слабо связанных систем с изученными свойствами. Естественно поставить вопрос о поведении цепочки (среды) из систем, демонстрирующих удвоения периода. Цель данной работы состоит в том, чтобы указать условия соответствия между поведением такой цепочки и ее модели, составленной из систем (2). Найденные условия иллюстрируются конкретным примером, который интересен для теории твердого тела, нелинейной оптики, радиотехники.

2. Используем в качестве ячейки, на базе которой строится цепочка, систему (2). Заметим, что малая добавка к переменной  $x$  преобразуется за единицу времени по формуле  $\xi_{n+1} = F'(x_n)\xi_n$ .

Переходя к цепочке из связанных ячеек, будем считать, что уравнение (2) описывает пространственно-однородное решение, т. е. определяет динамику цепочки в случае, когда  $x$  не зависит от номера ячейки  $m$ . Рассмотрим малое возмущение пространственно-однородного решения  $\xi_{n,m}$ . Чтобы описать его эволюцию, следует добавить в уравнение для возмущения линейный по  $\xi$  член:

$$\xi_{n+1,m} = F'(x_n)\xi_{n,m} - \varphi(x_n)(\xi_{n,m-1} - 2\xi_{n,m} + \xi_{n,m+1}), \quad (3)$$

где  $\varphi(x)$  — функция, вид которой зависит от конкретного способа введения связи между ячейками. Полагая  $\xi_{n,m} = \xi_n e^{i\beta m}$  ( $\beta$  — волновое число) и ограничиваясь длинноволновыми возмущениями  $\beta^2 \ll 1$ , получим:

$$\xi_{n+1} = F'(x_n)\xi_n + \varphi(x_n)\beta^2\xi_n. \quad (4)$$

Подвергнем уравнения (2) и (4) преобразованию ренормировки (удвоения) [2, 3]: выразим  $x_{n+2}$ ,  $\xi_{n+2}$  через  $x_n$ ,  $\xi_n$ , пренебрегая членами порядка  $\beta^4$ , и выполним замену  $x \rightarrow x/a_0$ ,  $a_0 = 1/F(F(0))$ :

$$x_{n+2} = a_0 F\left(F\left(\frac{x_n}{a_0}\right)\right), \quad \xi_{n+2} = \left\{ F'\left(F\left(\frac{x_n}{a_0}\right)\right) F'\left(\frac{x_n}{a_0}\right) + \left[ F'\left(\frac{x_n}{a_0}\right) \times \right. \right. \\ \left. \left. \times \varphi\left(F\left(\frac{x_n}{a_0}\right)\right) + F'\left(F\left(\frac{x_n}{a_0}\right)\right) \varphi\left(\frac{x_n}{a_0}\right) \right] \beta^2 \right\} \xi_n.$$

В результате  $N$ -кратного применения этой процедуры будем иметь

$$x_{n+2N} = F_N(x_n), \quad \xi_{n+2N} = F'_N(x_n)\xi_n + \beta^2 \varphi_N(x_n)\xi_n, \quad (5)$$

где функции  $F_N(x)$  и  $\varphi_N(x)$  удовлетворяют рекуррентным соотношениям:

$$F_{N+1}(x) = a_N F_N\left(F_N\left(\frac{x}{a_N}\right)\right), \quad a_N = 1/F_N(F_N(0)), \quad (6)$$

<sup>1)</sup> При  $\lambda > \lambda_c$  существуют, впрочем, узкие зоны значений параметра, в которых реализуются устойчивые периодические режимы [2].

$$\varphi_{N+1}(x) = F'_N\left(\frac{x}{a_N}\right) \varphi_N\left(F_N\left(\frac{x}{a_N}\right)\right) + F'_N\left(F_N\left(\frac{x}{a_N}\right)\right) \varphi\left(\frac{x}{a_N}\right). \quad (7)$$

Пусть  $\lambda = \lambda_c$ , тогда согласно [2, 3] существует нетривиальный предел  $\lim_{N \rightarrow \infty} f_N(x) = g(x)$  и  $\lim_{N \rightarrow \infty} a_N = a = -2,5029$ . Как видно из (6), функция  $g(x)$  должна удовлетворять функциональному уравнению [2]:

$$g(x) = ag\left(g\left(\frac{x}{a}\right)\right), \quad (8)$$

причем  $g(0) = 1$ ,  $g'(0) = 0$ ,  $g''(0) \neq 0$ ,  $a = 1/g(1)$ . Как показано Фейгенбаумом, функция  $g(x)$  может быть найдена непосредственно как решение уравнения (8). Эта функция универсальна (не зависит от кон-

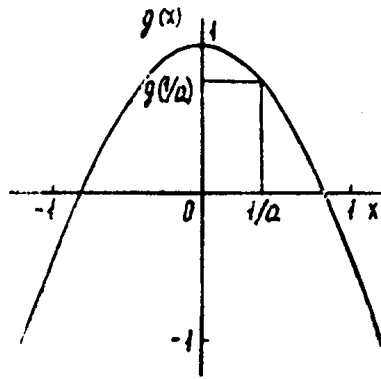


Рис. 1

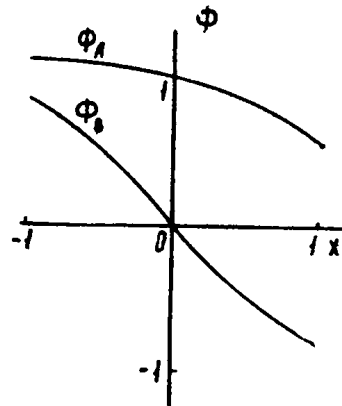


Рис. 2

кретной начальной  $F(x)$ ). В [3] указана полиномиальная аппроксимация  $g(x)$ , позволяющая вычислять ее на отрезке  $[-1, 1]$  с точностью до 10 значащих цифр. График функции  $g(x)$  показан на рис. 1.

В силу сказанного, соотношение (7) при  $\lambda = \lambda_c$  и больших  $N$  принимает вид:

$$\varphi_{N+1}(x) = g'\left(\frac{x}{a}\right) \varphi_N\left(g\left(\frac{x}{a}\right)\right) + g'\left(g\left(\frac{x}{a}\right)\right) \varphi_N\left(\frac{x}{a}\right).$$

Его можно упростить с помощью замены  $\varphi_N(x) = g'(x) f_N(x)$ :

$$f_{N+1}(x) = f_N\left(\frac{x}{a}\right) + f_N\left(g\left(\frac{x}{a}\right)\right) \equiv \hat{L}f_N(x), \quad (9)$$

где использовано вытекающее из (8) тождество

$$g'(x) = g'\left(\frac{x}{a}\right) g'\left(g\left(\frac{x}{a}\right)\right).$$

Производная  $g'(x)$  на отрезке  $[-1, 1]$  имеет единственный простой нуль в точке  $x = 0$ . Будем рассматривать функции  $f$ , представимые в виде  $f(x) = \frac{\text{const}}{x} + \tilde{f}(x)$ , где  $\tilde{f}(x)$  удовлетворяет на отрезке

$[-1, 1]$  условию Липшица. (Для этого достаточно потребовать двукратной дифференцируемости функции связи  $\varphi(x)$  для  $x \in [-1, 1]$ .) Тогда, согласно Теореме 3, сформулированной и доказанной в при-

ложении, функция  $f_N(x)$  равномерно аппроксимируется выражением  $f_N(x) = C_A \phi(x) a^N + C_B \cdot 2^N + O\left(\left|\frac{2}{a}\right|^N\right)$  и, следовательно,

$$\varphi_N(x) = C_A \Phi_A(x) a^N + C_B \Phi_B(x) \cdot 2^N C + O\left(\left|\frac{2}{a}\right|^N\right), \quad (10)$$

где  $C_A$  и  $C_B$  — постоянные, зависящие от начальной функции  $\varphi(x)$ ;  $\Phi_A(x) = g'(x)\phi(x)$ ,  $\Phi_B(x) = g'(x)$ , функция  $\phi(x)$  введена в приложении. Графики функций  $\Phi_A(x)$  и  $\Phi_B(x)$  показаны на рис. 2. Поскольку функция  $\varphi_N(x)$  характеризует связь между ячейками цепочки, будем трактовать каждый из двух членов в (10) как определенный тип связи,  $A$ -и  $B$ -тип соответственно. Таким образом, вопрос о поведении цепочек рассматриваемого вида после большого числа удвоений периода сводится к изучению цепочек с функциями связи  $C_A \Phi_A(x) + C_B \Phi_B(x)$ , т. е. радикально упрощается по сравнению с исходной постановкой задачи, содержащей произвольную функцию  $\varphi(x)$ <sup>2)</sup>. Условием одинакового поведения двух различных цепочек в критической точке является равенство соответствующих коэффициентов  $C_A$  и  $C_B$ . Из этого следует, что нужно уметь находить  $C_A$  и  $C_B$  для конкретных систем; один метод их определения указан ниже.

3. Как известно [2], отображение (2) имеет при  $\lambda = \lambda_c$  неустойчивые циклы периода  $2^N$ ,  $N = 0, 1, \dots, \infty$ . Определим мультипликатор  $2^N$ -цикла  $\mu_N(\beta)$  — величину, показывающую, во сколько раз изменяется за период цикла малое возмущение вида  $e^{i\beta m}$  на фоне соответствующего этому циклу пространственно-однородного решения. Как видно из (5), ренормированное значение  $x$ , отвечающее  $2^N$ -циклу при больших  $N$  есть  $x_* = 0,5439$  — корень уравнения  $x = g(x)$  [2]. Подставляя  $x = x_*$  в уравнение (5), используя (10) и определение  $\mu_N$ , получим:

$$\mu_N(\beta) = \mu_* + (c_A a^N + c_B \cdot 2^N) \beta^2 \quad (\text{для достаточно больших } N), \quad (11)$$

$$\text{где} \quad \mu_* = g'(x_*) = -1,60119; \quad c_{A,B} = C_{A,B} \Phi_{A,B}(x_*).$$

Если для какой-либо цепочки вычислены мультипликаторы двух циклов в критической точке, то из (11) находятся коэффициенты  $c_A$  и  $c_B$ . Тогда можно описывать цепочку моделью, составленной из систем (2):

$$\begin{aligned} x_{n+1,m} = & 1 - \lambda x_{n,m}^2 + 1,0979 c_A (-x_{n,m-1} + 2x_{n,m} - x_{n,m+1}) + \\ & + (0,8751 c_B - 0,135 c_A) (-x_{n,m+1}^2 + 2x_{n,m}^2 - x_{n,m-1}^2). \end{aligned} \quad (12)$$

Численные коэффициенты выбраны здесь так, чтобы мультипликаторы  $2^N$ -циклов выражались через входящие в (12) параметры  $c_A$  и  $c_B$  в соответствии с (11). Заметим, что модель (12) можно использовать и в окрестности критической точки, если обеспечить соответствие с моделируемой системой по параметру  $(\lambda - \lambda_c)K^{-1}$ .

4. Продемонстрируем применимость развитой теории к системе, представляющей практический интерес, и опишем расчеты, которые необходимо выполнить для определения параметров модели. Рассмотрим цепочку параметрически возбуждаемых нелинейных осцилляторов [5]:

$$\begin{aligned} \ddot{X}_m + \lambda \dot{X}_m + \left(1 + q \cos \frac{2\pi t}{T}\right) X_m + X_m^3 = \varepsilon \Psi(X_{m-1}, X_m, X_{m+1}), \\ \dot{X}_{m-1}, \dot{X}_m, \dot{X}_{m+1}, \end{aligned} \quad (13)$$

<sup>2)</sup> Цепочка с чистой  $B$ -связью исследована в [10].

где  $X_m$  — обобщенная координата  $m$ -го осциллятора;  $\lambda$ ,  $q$ ,  $T$  — параметры; функция  $\Psi$  определяет связь между осцилляторами;  $\varepsilon$  — коэффициент связи. Исследуем три способа введения связи:

1)  $\Psi_1 = x_{m-1} - 2X_m + X_{m+1}$ ; 2)  $\Psi_2 = X_m^2 (X_{m-1} - 2X_m + X_{m+1})$ ;

3)  $\Psi_3 = \dot{X}_{m-1} - 2\dot{X}_m + \dot{X}_{m+1}$ .

Пространственно-однородное решение описывается уравнением

$$\ddot{X} + \lambda X + \left(1 + q \cos \frac{2\pi t}{T}\right) X + X^3 = 0. \quad (14)$$

Малые возмущения этого решения вида  $\xi e^{i\beta m}$  для трех указанных способов введения связи подчиняются при  $\beta^2 \ll 1$  линейным уравнениям:

$$\ddot{\xi} + \lambda \dot{\xi} + \left(1 + q \cos \frac{2\pi t}{T}\right) \xi + 3X^2 \xi = \begin{cases} -\varepsilon \beta^2 \ddot{\xi} \\ -\varepsilon \beta^2 X^2 \xi \\ -\varepsilon \beta^2 \dot{\xi} \end{cases} \quad (15)$$

При фиксированных  $q$ ,  $T$  решение (14) претерпевает удвоения периода при уменьшении  $\lambda$ . Проследив за последовательностью удвоений, можно найти критическую точку  $\lambda_c$ . В частности, при  $q = 6$ ,  $2\pi/T = 2,04$  было получено  $\lambda_c = 0,97723$ ,  $K = -0,1505$ . Для поиска цикла периода  $2^N T$  при  $\lambda = \lambda_c$  уравнение (14) решается численно на отрезке  $[0, 2^N T]$  с начальными условиями  $(X(0), \dot{X}(0))$ . Уточненное положение начальной точки на цикле определяется по формулам

$$X_{yt}(0) = X(0) + [X(2^N T) - X(0)] (1 - \mu_*)^{-1},$$

$$\dot{X}_{yt}(0) = \dot{X}(0) + [\dot{X}(2^N T) - \dot{X}(0)] (1 - \mu_*)^{-1};$$

в случае необходимости итерация повторяется. После того, как цикл найден, на том же отрезке времени совместно решаются уравнения (14) и (15), причем ищутся два линейно-независимых решения (15) с начальными условиями  $\xi = 1, \dot{\xi} = 0$  и  $\xi = 0, \dot{\xi} = 1$ . Из величин  $\xi(2^N T)$  и  $\dot{\xi}(2^N T)$ , отвечающих этим решениям, составляется матрица  $2 \times 2$ , собственные числа которой есть мультипликаторы. При больших  $N$  один мультипликатор стремится к нулю, а второй представляется в виде  $\mu_N = \mu_* + \varepsilon \chi_N \beta^2$ . В таблице приведены значения  $\chi_N$ , вычисленные для

Таблица

N	F <sub>1</sub>			F <sub>2</sub>			F <sub>3</sub>		
	$\chi_N$	$c_A/\varepsilon$	$c_B/\varepsilon$	$\chi_N$	$c_A/\varepsilon$	$c_B/\varepsilon$	$\chi_N$	$c_A/\varepsilon$	$c_B/\varepsilon$
1	3,570			1,982			3,431		
2	-1,931	-0,805	0,778	-2,602	-0,583	0,262	11,29	0,392	2,208
3	18,56	-0,795	0,762	11,21	-0,582	0,261	11,17	0,404	2,189
4	-19,11	-0,796	0,759	-18,80	-0,584	0,257	51,11	0,407	2,195

трех способов введения связи, а также найденные с помощью (11) по каждой паре  $\chi_N, \chi_{N+1}$  коэффициенты  $c_A/\varepsilon, c_B/\varepsilon$ . Приближенное постоянство коэффициентов в каждом столбце означает, что введенные A- и B-типы связи имеют смысл для цепочки (13). При выборе  $c_A$  и  $c_B$ , согласно данным таблицы, модель (12) должна правильно описывать цепочку осцилляторов вблизи критической точки<sup>3)</sup>.

<sup>3)</sup> Заметим, что, согласно результатам расчетов,  $c_A$  и  $c_B$  зависят от параметров задачи  $q, T$ .

Проведенный анализ касался динамики малых возмущений пространственно-однородного решения задачи. Поэтому он дает лишь необходимые условия соответствия модели и системы. Однако численные эксперименты показывают, что количественное соответствие между динамикой цепочки (13) и модели (12) сохраняется и для конечных возмущений.

### Приложение

В проведенных ниже рассуждениях используются без оговорок некоторые свойства функции Фейгенбаума  $g(x)$ , представляющей собой решение функционального уравнения (8). Эти свойства установлены в [2--4]. В частности, функция  $g(x)$  на отрезке  $[-1, 1]$  ограничена и имеет ограниченную производную. Для любого  $x \in [-1, 1]$  и  $i > 0$  справедливо  $g^i(x) \in [-1, 1]$ . Здесь и далее используется обозначение  $g^i(x) = \underbrace{g(g(\dots g(x)\dots))}_{i \text{ раз}}$ . Через  $\hat{L}$  обозначается линейный оператор, определенный соотношением (9).

**Лемма.** Пусть  $x, y \in [-1, 1]$ ,  $\kappa$  и  $i$  — целые,  $\kappa \geq 0$ ,  $0 < i \leq 2^\kappa$ . Тогда

$$\Delta_\kappa^i = |g^i(x/a^\kappa) - g^i(y/a^\kappa)| < \frac{|x-y|}{|a|^{\kappa-1}} \leq \frac{2}{|a|^{\kappa-1}}.$$

**Доказательство.** Для  $\kappa = 0$ ,  $i = 1$  имеем:

$$|g(x) - g(y)| < \max_{|x| < 1} |g'(x)| |x-y| = |g'(1)| |x-y| = |a| |x-y| \leq 2|a|.$$

Предположим, что утверждение Леммы справедливо при некотором  $\kappa$ . Покажем, что это влечет его справедливость для  $\kappa + 1$ .

а) Пусть  $i$  — четное,  $i = 2m$ ,  $0 < m \leq 2^\kappa$ . Используя (8), имеем:

$$\begin{aligned} \Delta_{\kappa+1}^{2m} &= \left| g^{2m}\left(\frac{x}{a^{\kappa+1}}\right) - g^{2m}\left(\frac{y}{a^{\kappa+1}}\right) \right| = \left| \frac{1}{a} g^m\left(\frac{x}{a^\kappa}\right) - \right. \\ &\quad \left. - \frac{1}{a} g^m\left(\frac{y}{a^\kappa}\right) \right| < \frac{|x-y|}{|a|^\kappa} \leq \frac{2}{|a|^\kappa}. \end{aligned}$$

б) Пусть  $i$  — нечетное,  $i = 2m + 1$ ,  $0 \leq m < 2^\kappa$ . Обозначим  $g^{2m+1}\left(\frac{x}{a^{\kappa+1}}\right) = \xi$ ,  $g^{2m+1}\left(\frac{y}{a^{\kappa+1}}\right) = \eta$  и оценим разность  $\Delta_{\kappa+1}^{2m+1} = |\xi - \eta|$ .

Заметим, что  $\xi = g\left(g^{2m}\left(\frac{x}{a^{\kappa+1}}\right)\right) = g(X)$ , где  $X = \frac{1}{a} g^m\left(\frac{x}{a^\kappa}\right) \in \left[-\frac{1}{|a|}, \frac{1}{|a|}\right]$ , поскольку  $\left|g^m\left(\frac{x}{a^\kappa}\right)\right| \leq 1$ . Тогда  $g\left(\frac{1}{a}\right) \leq \xi \leq 1$  (рис. 1) и ана-

логично  $g\left(\frac{1}{a}\right) \leq \eta \leq 1$ ,  $g\left(\frac{1}{a}\right) = 0,7589$ . Согласно пункту (а),

$$|g(\xi) - g(\eta)| = \Delta_{\kappa+1}^{2m+2} < \frac{|x-y|}{|a|^\kappa} \leq \frac{2}{|a|^\kappa}. \quad (\text{П.1})$$

С другой стороны,

$$|g(\xi) - g(\eta)| > \min |g'(\xi)| |\xi - \eta| > |\xi - \eta|, \quad (\text{П.2})$$

поскольку  $\min |g'(\xi)| = |g'\left(g\left(\frac{1}{a}\right)\right)| \approx 2,10$ . Сопоставляя (П.1) и (П.2), имеем:

$$\Delta_{\kappa+1}^{2m+1} = |\xi - \eta| < |g(\xi) - g(\eta)| < \frac{|x-y|}{|a|^\kappa} \leq \frac{2}{|a|^\kappa}.$$

По индукции Лемма справедлива для всех  $\kappa$ .

Исследуем многократное действие оператора  $\hat{L}$  на некоторые классы функций.

**Теорема 1.** Если функция  $f(x)$  равномерно ограничена на отрезке  $[-1, 1]$ ;  $|f(x)| < C$ , то  $|\hat{L}^\kappa f(x)| < C \cdot 2^\kappa$ .

**Доказательство.** Запишем результат  $\kappa$ -кратного действия оператора  $\hat{L}$  на функцию  $f(x)$ :

$$\hat{L}^\kappa f(x) = \sum_{i=0}^{2^\kappa-1} f\left(g^i\left(\frac{x}{a^\kappa}\right)\right). \quad (\text{П.3})$$

Оценим модуль правой части (П.3):

$$\left| \sum_{i=0}^{2^\kappa-1} f\left(g^i\left(\frac{x}{a^\kappa}\right)\right) \right| \leq \sum_{i=0}^{2^\kappa-1} \left| f\left(g^i\left(\frac{x}{a^\kappa}\right)\right) \right| < C \cdot 2^\kappa.$$

**Теорема 2.** Если функция  $f(x)$  удовлетворяет условию Липшица  $|f(x) - f(y)| < K|x - y|$ , где  $x, y \in [-1, 1]$ ,  $K$  — фиксированная константа, то существуют такие константы  $C$  и  $P$ , что

$$|\hat{L}^\kappa f(x) - C \cdot 2^\kappa| < P \left| \frac{2}{a} \right|^\kappa.$$

**Доказательство.** Согласно (П.3),

$$\hat{L}^{\kappa+1} f(x) = \sum_{i=0}^{2^{\kappa+1}-1} \left[ f\left(g^i\left(\frac{x}{a^{\kappa+1}}\right)\right) + f\left(g^i\left(\frac{y}{a^{\kappa+1}}\right)\right) \right],$$

где  $y = a^\kappa g^{2^\kappa}(x/a^{\kappa+1})$ . С помощью (8) можно показать, что  $y = g(x/a) \in [-1, 1]$ . Оценим  $\Delta = |\hat{L}^{\kappa+1} f(x_1) - 2\hat{L}^\kappa f(x_2)|$ , где  $x_1, x_2 \in [-1, 1]$ . Обозначая  $y_{1,2} = g(x_{1,2})$ , имеем

$$\begin{aligned} \Delta = & \left| \sum_{i=0}^{2^{\kappa+1}-1} \left\{ \left[ f\left(g^i\left(\frac{x_1}{a^{\kappa+1}}\right)\right) - f\left(g^i\left(\frac{x_2}{a^{\kappa+1}}\right)\right) \right] + \left[ f\left(g^i\left(\frac{y_1}{a^\kappa}\right)\right) - \right. \right. \\ & \left. \left. - f\left(g^i\left(\frac{y_2}{a^\kappa}\right)\right) \right] \right\} \right| < K \sum_{i=0}^{2^{\kappa+1}-1} \left[ \left| g^i\left(\frac{x_1}{a^{\kappa+1}}\right) - g^i\left(\frac{x_2}{a^{\kappa+1}}\right) \right| + \right. \\ & \left. + \left| g^i\left(\frac{y_1}{a^\kappa}\right) - g^i\left(\frac{y_2}{a^\kappa}\right) \right| \right]. \end{aligned}$$

Используем Лемму:

$$\Delta < K \cdot 2^\kappa (|x_1 - x_2| |a|^{-\kappa} + |y_1 - y_2| |a|^{-\kappa-1}) < Q \left| \frac{2}{a} \right|^\kappa,$$

$$Q = 2K(1 + |a|). \quad (\text{П.4})$$

Полагая 1)  $x_1 = x_2 = x$ , 2)  $x_1 = x, x_2 = 0$ , 3)  $x_1 = 0, x_2 = 0$ , находим следующие неравенства:

$$|\Phi_{\kappa+1}(x) - \Phi_\kappa(x)| < Q|a|^{-\kappa}, \quad (\text{П.5})$$

$$|\Phi_{\kappa+1}(x) - \Phi_\kappa(0)| < Q|a|^{-\kappa}, \quad (\text{П.6})$$

$$|\Phi_{\kappa+1}(0) - \Phi_\kappa(0)| < Q|a|^{-\kappa}, \quad (\text{П.7})$$

где введено обозначение  $\Phi_\kappa(x) = 2^{-\kappa} \hat{L}^\kappa f(x)$ . Из (П.7) следует, что по критерию Коши [11, с. 40] последовательность  $\Phi_\kappa(0)$  имеет пре-

дел  $\lim_{\kappa \rightarrow \infty} \Phi_{\kappa}(0) = C$ . Из (П.6) видно, что это же число  $C$  является пределом последовательности  $\Phi_{\kappa}(x)$  при любом  $x \in [-1, 1]$ .

Пусть  $\Delta_{\kappa}(x) = \Phi_{\kappa+1}(x) - \Phi_{\kappa}(x)$ , тогда  $\sum_{\kappa=m}^{m+N-1} \Delta_{\kappa} = \Phi_{m+N} - \Phi_m$ . Предел правой части при  $N \rightarrow \infty$  существует, следовательно,  $\sum_{\kappa=m}^{\infty} \Delta_{\kappa} = C - \Phi_m$ . Согласно (П.5),  $|\Delta_{\kappa}(x)| < Q|a|^{-\kappa}$ . Поэтому

$$|\Phi_m - C| = \left| \sum_{\kappa=m}^{\infty} \Delta_{\kappa} \right| < \sum_{\kappa=m}^{\infty} |\Delta_{\kappa}| < \sum_{\kappa=m}^{\infty} Q|a|^{-\kappa} = P|a|^{-m},$$

где  $P = Q[1 - |a|^{-1}]^{-1}$ . Отсюда вытекает утверждение Теоремы 2.

**Теорема 3.** Пусть  $f(x) = \frac{1}{x} + \tilde{f}(x)$ , где  $\tilde{f}(x)$  — функция, удо-

влетворяющая условию Липшица  $|\tilde{f}(x) - \tilde{f}(y)| < K|x - y|$ ,  $x, y \in [-1, 1]$ ,  $K$  — фиксированная постоянная. Тогда существуют такие константы  $C, P$  и функция  $\psi(x)$ , что для любого  $x \in [-1, 1]$  справедливо неравенство

$$\left| \hat{L}^{\kappa} f(x) - a^{\kappa} \psi(x) - C \cdot 2^{\kappa} \right| < P \left| \frac{2}{a} \right|^{\kappa}. \quad (\text{П.8})$$

Докажем последовательно ряд утверждений.

1. Имеет место неравенство

$$\left| f_{\kappa}(x) - \frac{a^{\kappa}}{x} \right| < M|a|^{\kappa}, \quad (\text{П.9})$$

где  $f_{\kappa}(x) = \hat{L}^{\kappa} f(x)$ ;  $x \in [-1, 1]$ ;  $M$  — константа.

При  $\kappa = 0$  утверждение справедливо, если положить  $M > 2K$ .

Предположим, что (П.9) выполнено для некоторого  $\kappa$ . Тогда для  $\kappa + 1$  имеем:

$$\begin{aligned} \left| f_{\kappa+1}(x) - \frac{a^{\kappa+1}}{x} \right| &= \left| f_{\kappa}\left(\frac{x}{a}\right) + f_{\kappa}\left(g\left(\frac{x}{a}\right)\right) - \frac{a^{\kappa+1}}{x} \right| \leq \left| f_{\kappa}\left(\frac{x}{a}\right) - \frac{a^{\kappa}}{x/a} \right| + \left| f_{\kappa}\left(g\left(\frac{x}{a}\right)\right) - \frac{a^{\kappa}}{g(x/a)} \right| + \left| \frac{a^{\kappa}}{g(x/a)} \right| \\ &\leq \left[ 2M + \frac{1}{g(1/a)} \right] |a|^{\kappa}, \end{aligned}$$

где использовано, что  $\min_{|x| \leq 1} g(x/a) = g(1/a)$ . Потребуем, чтобы выражение в квадратных скобках было меньше, чем  $M|a|$ . Это обеспечено при  $M > \frac{1}{(|a| - 2)g(1/a)} \approx 2,62$ . Тогда  $|f_{\kappa+1}(x) - a^{\kappa+1}/x| < M|a|^{\kappa+1}$ . По индукции заключаем, что неравенство (П.9) верно для любых  $\kappa$ , если выбрать  $M > \max[2,62; 2K]$ .

2. Существует предел  $\lim_{\kappa \rightarrow \infty} [\hat{L}^{\kappa} f(x)/a^{\kappa}] = \psi(x)$ .

Введем обозначение  $\psi_{\kappa}(x) = \hat{L}^{\kappa} f(x)/a^{\kappa} = f_{\kappa}(x)/a^{\kappa}$  и рассмотрим модуль разности

$$\begin{aligned} |\psi_{\kappa+1}(x) - \psi_{\kappa}(x)| &= |a|^{-\kappa-1} |f_{\kappa+1}(x) - a f_{\kappa}(x)| = \\ &= |a|^{-\kappa} |\hat{L}^{\kappa} [f_1(x) - a f(x)]|. \end{aligned}$$



Функция  $f_1(x) - af(x)$  равномерно ограничена:

$$\begin{aligned} |f_1(x) - af(x)| &= |f(x/a) + f(g(x/a)) - af(x)| = \\ /a &= |\tilde{f}(x/a) + a/g(x/a) + \tilde{f}(g(x/a)) - af(x)| < \\ &< (2 + |a|)K + |a/g(1/a)| = D. \end{aligned}$$

Поэтому по Теореме 1  $|f_{\kappa+1}(x) - af_{\kappa}(x)| < D \cdot 2^{\kappa}$  и  $|\psi_{\kappa+1}(x) - \psi_{\kappa}(x)| < \frac{D}{|a|} \left| \frac{2}{a} \right|^{\kappa}$ . Правая часть последнего выражения стремится к нулю при  $\kappa \rightarrow \infty$ . Согласно критерию равномерной сходимости последовательности функций [11, с. 546], откуда следует существование предела  $\lim_{\kappa \rightarrow \infty} \psi_{\kappa}(x) = \psi(x)$ . Функция  $\psi(x)$  — собственная функция оператора  $\hat{L}$  с собственным числом  $a$ . Действительно, при больших  $\kappa$   $\psi_{\kappa+1}(x) \approx \psi_{\kappa}(x) \approx \psi(x)$ , т. е.  $\hat{L}\psi = a\psi$ .

Если положить  $f(x) = 1/x$ , то получим:

$$\psi(x) = \lim_{\kappa \rightarrow \infty} \frac{\hat{L}^{\kappa} f(x)}{a^{\kappa}} = \lim_{\kappa \rightarrow \infty} \left\{ \frac{1}{x} + \sum_{i=1}^{2^{\kappa}-1} [a^{\kappa} g^i(x/a^{\kappa})]^{-1} \right\}.$$

Выбирая  $\kappa$  большим, но конечным, можно использовать это представление функции  $\psi(x)$  для ее вычисления.

3. Функция  $\tilde{\psi}(x) = \psi(x) - 1/x$  удовлетворяет условию Липшица:

$$|\tilde{\psi}(x) - \tilde{\psi}(y)| < S|x - y|, \quad (\text{П.10})$$

где  $x, y \in [-1, 1]$ ;  $S$  — надлежащим образом выбранная константа.

Если мы покажем, что неравенство вида (П.10) выполняется для функций  $\psi_{\kappa}(x) = f_{\kappa}(x)/a^{\kappa}$  при любом  $\kappa$ , то оно справедливо и для предельной функции  $\psi(x)$ . Для  $\kappa = 0$  неравенство имеет место по условию Теоремы 3. Предположим, что оно справедливо для некоторого  $\kappa$ . Тогда для  $\kappa + 1$  имеем:

$$\begin{aligned} |\tilde{\psi}_{\kappa+1}(x) - \tilde{\psi}_{\kappa+1}(y)| &= \left| \left[ \frac{f_{\kappa}(x/a) - f_{\kappa}(y/a)}{a^{\kappa+1}} - \frac{1}{x} + \frac{1}{y} \right] + \right. \\ &+ \frac{1}{a} \left[ \frac{f_{\kappa}(g(x/a)) - f_{\kappa}(g(y/a))}{a^{\kappa}} - \frac{1}{g(x/a)} + \frac{1}{g(y/a)} \right] + \\ &+ \left. \frac{1}{ag(x/a)} - \frac{1}{ag(y/a)} \right| < S \left| \frac{x-y}{a} \right| + \frac{S}{|a|} \left| g\left(\frac{x}{a}\right) - \right. \\ &\left. - g\left(\frac{y}{a}\right) \right| + \frac{1}{|a|} \left| \frac{1}{g(x/a)} - \frac{1}{g(y/a)} \right|. \end{aligned}$$

Используя неравенства

$$\begin{aligned} |g(x/a) - g(y/a)| &\leq \max_{|x| \leq 1} \left| g'\left(\frac{x}{a}\right) \right| \left| \frac{x}{a} - \frac{y}{a} \right| = \\ &= \left| \frac{x}{a} - \frac{y}{a} \right| \left| g'\left(\frac{1}{a}\right) \right|, \end{aligned}$$

$$\begin{aligned} \left| \frac{1}{g(x/a)} - \frac{1}{g(y/a)} \right| &\leq |g'(1/a)| \left| \frac{x}{a} - \frac{y}{a} \right| \left[ \min_{|x| \leq 1} \left| g\left(\frac{x}{a}\right) \right| \right]^{-2} = \\ &= |g'(1/a)| \left| \frac{x}{a} - \frac{y}{a} \right| |g(1/a)|^{-2}, \end{aligned}$$

получаем:

$$|\tilde{\psi}_{k+1}(x) - \tilde{\psi}_{k+1}(y)| \leq \left[ S \left( \frac{1}{|a|} + \frac{|g'(1/a)|}{a^2} \right) + \left| \frac{g'(1/a)}{a(g'(1/a))^2} \right| \right] |x - y|.$$

Правая часть меньше, чем  $S|x - y|$ , если положить

$$S > |g'(1/a)| |a| (g'(1/a))^2 (1 - 1/|a| - |g'(1/a)|/|a|^2)^{-1} \approx 2,0184.$$

Следовательно, (П.10) выполнено, если  $S > \max\{K; 2,1\}$ .

4. Используя полученные результаты, нетрудно убедиться в справедливости Теоремы 3. Очевидно, функция  $F(x) = f(x) - \psi(x)$  удовлетворяет условию Липшица:

$$|F(x) - F(y)| \leq |\tilde{f}(x) - \tilde{f}(y)| + |\tilde{\psi}(x) - \tilde{\psi}(y)| = (K + S) |x - y|.$$

Согласно Теореме 2, существуют такие  $C$  и  $P$ , что

$$|\hat{L}^k(f(x) - \psi(x)) - C \cdot 2^k| < \left| \frac{2}{a} \right|^k \cdot P.$$

Как было показано,  $\hat{L}\psi = a\psi$ . Поэтому отсюда следует (П.8).

Автор благодарен Д. И. Трубецкову за полезное обсуждение, А. П. Кузнецову и А. Г. Рожневу за помощь в работе.

#### СПИСОК ЛИТЕРАТУРЫ

1. Неймарк Ю. И. Метод точечных отображений в теории нелинейных колебаний. М., Наука, 1972.
2. Feigenbaum M. J. J. Stat. Phys., 1978, **19**, № 1, 25.
3. Feigenbaum M. J. J. Stat. Phys., 1979, **21**, № 6, 669.
4. Feigenbaum M. J. Commun. Math. Phys., 1980, **77**, 65.
5. Izrailev F. M., Rabinovich M. I., Ugodnikov A. D. Phys. Lett., 1981, **A86**, № 6—7, 321.
6. Testa J., Perez J., Jeffries C. Phys. Rev. Lett., 1982, **48**, №11, 74.
7. Сб.: Странные аттракторы. М., Мир, 1981.
8. Eckmann J. D. Rev. Mod. Phys., 1981, **53**, № 4, Part. 1, 643.
9. Kai T. Phys. Lett., 1981, **A6**, № 5, 263.
10. Кузнецов С. П. Изв. вузов, Радиофизика, 1982, **25**, 1364.
11. Кудрявцев Л. Д. Математический анализ. 1, М., Высшая школа, 1973.

Саратовский госуниверситет

Поступила в редакцию  
после доработки 10 ноября 1983 г.